

к.т.н. Делекторский А.А., Стефов Н.В., ООО «МИНАДАГС»

# ОСОБЕННОСТИ РАБОТЫ ЭЛАСТОМЕРНЫХ АНОДОВ

В настоящий момент для защиты стальных конструкций от коррозии в грунтах соленых и солоноватых вод применяются различные типы анодов. Наиболее распространены эластомерные аноды, которые соответствуют требованиям, предъявляемым к изготавливаемой продукции (ПДСы, Стендарты), квалифицированные специалисты.

Высокая гибкость, надежность узлов контакта токовводов в сочетании с экологической чистотой работы и возможностью изготовления в форме «кабелей» с различными сопротивлениями оболочки делает их незаменимыми при защите подземного трубопроводного транспорта любой протяженности и особенно в грунтах с высоким удельным сопротивлением.

Однако протяженные электропроводные резиновые заземлители обладают рядом особенностей, которые необходимо учитывать при проектировании, строительстве и эксплуатации систем электрохимической защиты.

Протяженный гибкий анод (ПГА) представляет собой медную многопроволочную жилу, заключенную в плотную электропроводную резиновую оболочку. Электропроводная оболочка является основным расходным материалом ПГА, обеспечивающим при правильном выборе удельной токовой нагрузки установленный срок службы анодного заземления.

Основными физическими характеристиками электропроводной резиновой оболочки являются:  $\rho_v$  — удельное объемное электросопротивление ( $\Omega \cdot \text{м}$ ),  $\gamma$  — удельная плотность ( $\text{кг}/\text{м}^3$ ),  $q_{\text{ан}}$  — скорость анодного растворения ( $\text{кг}/\text{A год}$ ). Рассматривая электропроводную оболочку ПГА как систему, состоящую из диэлектрической каучуковой матрицы и электропроводного углеродного наполнителя, видим, что зависимость удельного объемного электросопротивления эластомеров от степени наполнения углеродным наполнителем

**В настоящее время анодные заземлители из электропроводной резины находят все более широкое применение при защите металлических конструкций от коррозии [1,2,3].**

имеет довольно сложный вид [4]:  

$$\rho_v = \rho_{v0} \cdot e^{(a/c)^p} \quad (1)$$

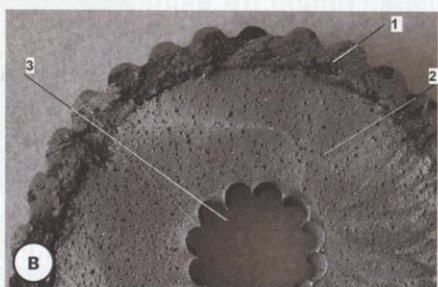
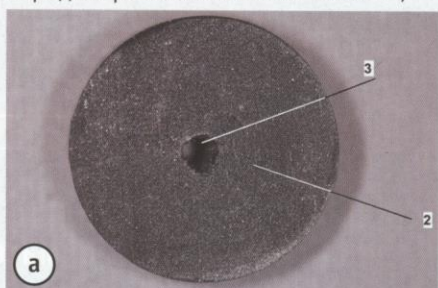
где  
 $\rho_v$  и  $\rho_{v0}$  — удельные объемные электросопротивления электропроводной оболочки и каучука соответственно;  
 $C$  — массовая доля углеродного наполнителя;

$a$ ,  $p$  — постоянные параметры, зависящие от типа углеродного наполнителя и технологии производства электропроводного эластомера.

Для высоконаполненных эластомеров, к которым относится резиновая оболочка ПГА, для расчета удельного объемного электросопротивления предложено следующее эмпирическое соотношение [4]:  

$$\rho_v = k/c^3 \quad (2)$$

где  $C$  — содержание технического углерода в резиновой смеси в мас.ч.;



$K$  — параметр, зависящий от типа каучука в резиновой смеси и изменяется в диапазоне от (15 до 90)  $10^3$ .

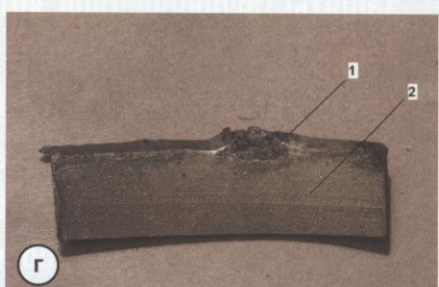
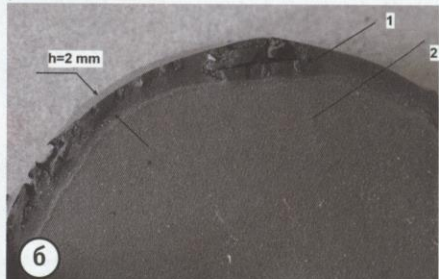
Таким образом, чем выше содержание электропроводного углеродного наполнителя в каучуке, тем ниже удельное электросопротивление резиновой оболочки, тем ниже электрические потери в материале анода.

Основной рабочей характеристикой анодного заземлителя является срок его службы, рассчитываемый на основании обобщенного закона Фарадея [5]:

$$T = \frac{G k_1}{q_{\text{ан}} i_{\text{ср}} k_2} \quad (3)$$

где

$T$  — срок службы электрода, лет;  
 $G$  — масса электрода (для протяженного масса единицы длины), кг;  
 $k_1$  — коэффициент неравномерности растеканию тока;



**Рис. 1. Фотографии разрезов ПГА до (а) и после (б, в, г) работы в течение 1 года под увеличенной токовой нагрузкой. 1 — поверхностный окисленный слой; 2 — рабочий материал оболочки; 3 — медная жила**

$K_2$  — коэффициент неоднородности грунта;

$i_{\text{ан}}$  — электрохимический эквивалент материала анода (кг/А·год);

$i$  — средняя сила тока, прошедшего через электрод в период эксплуатации, А. Таким образом, наращивая анодную массу электрода  $G$ , можно достичь увеличения срока службы ПГА. Это можно обеспечить, повышая удельную плотность материала оболочки, что достигается увеличением содержания электропроводного наполнителя в оболочке анода.

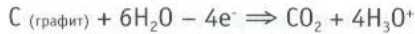
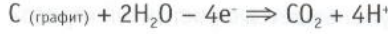
В свою очередь, высокое содержание электропроводного углеродного наполнителя в резиновой смеси при качественном резиновом производстве, которым обладает кабельная промышленность, приводит к более равномерному распределению наполнителя в каучуке, приближая собственный коэффициент неравномерности растекания тока с анода ( $K_1$ ) к единице. Оптимальным содержанием углеродного наполнителя в резиновой оболочке анода является 55–65 массовых процентов. При таком наполнении нормативный срок службы резиновых анодов составляет не менее 15 лет, сохраняется высокая гибкость изделия и эластичность материала анода, обеспечивающие удобства при монтаже анодного заземления и отсутствие повреждений при транспортировке ПГА.

Экспериментальные лабораторные и полевые исследования, проведенные в течение последних нескольких лет, показали, что в процессе эксплуатации эластомерных анодов происходит одновременное окисление углерода каучука и наполнителя, причем окисление углерода наполнителя происходит в основном в поверхностном слое оболочки анода и с большей скоростью, чем в теле электрода. Именно поэтому обычно применяемый метод расчета скорости анодного растворения материала оболочки по потере массы образцов и по электрохимическим эквивалентам значительно (до 30%) не совпадают.

На рис.1 представлены фотографии разрезов ПГА до и после работы в течение одного года под увеличенной токовой нагрузкой.

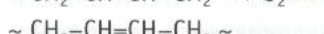
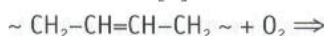
Рис. 1 демонстрирует четкую границу примыкающих друг к другу поверхностных слоев работавших электродов и основной массы оболочки.

Процессы окисления связаны с диссоциацией молекул почвенного электролита, в первую очередь воды, на поверхности анодов, с выделением кислорода и взаимодействием его с углеродным наполнителем. Возможные анодные реакции с выделением кислорода из воды и окислением углерода [6]:



Сопоставление величин стандартных потенциалов показывает, что в условиях, близких к эксплуатации, наиболее вероятным является процесс, связанный с окислением углерода, входящего в состав анода, с получением диоксида углерода.

Одновременно происходит окисление макромолекул каучука по известным механизмам [7]:



с образованием полимерпероксидов или по двойным связям каучука



с дальнейшим глубоким окислением каучука и потерей эластичности верхнего слоя оболочки анода.

О присоединении кислорода к углероду каучука (это приводит к очевидному увеличению массы работавших образцов) свидетельствуют данные ИК-спектров образцов, полученных на Фурье-ИК-спектрометре с использованием техники неполного внутреннего

отражения (НПВО).

Были исследованы образцы резин поверхностного слоя и образцы, вырезанные из середины оболочки анода. Образцы предварительно экстрагировались ацетоном и хлороформом для удаления пластификаторов и непрореагировавших компонентов вулканизующей системы.

Отсутствие в работающих образцах интенсивных полос поглощения при 970 и 910  $\text{cm}^{-1}$  от деформационных колебаний (C-H) в транс-двойной связи группы (-CH=CH-) и деформационных колебаний (C-H) в группе (-CH=CH<sub>2</sub>), а также наличие интенсивных полос поглощения в области 1007, 1234, 1535–1539 и 1740  $\text{cm}^{-1}$  от кислородосодержащих групп указывает на высокую степень окисления каучука поверхностного слоя кислородом.

В свою очередь, с большой степенью вероятности можно предположить взаимодействие кислорода со стабилизаторами каучука, компонентами вулканизующей группы и мягкителями. Наличие вышеуказанного механизма взаимодействия кислорода со стабилизаторами описано в литературе [7]. Поэтому присоединение кислорода к каучуку и ингредиентам резиновых смесей приводит к ошибкам в измерении скорости анодного растворения оболочки анода.

С учетом вышесказанного расчет срока службы резиновых анодов по формуле (3) предлагается проводить по значениям скорости анодного растворения углеродных материалов, в частности графита [8].

Тогда формула (3) приобретает вид:

$$T = \frac{0,6 G}{q_{\text{ан}} i_{\text{ср}} k_2}$$

$G$  — масса анода (для протяженного масса единицы длины, кг);

0,6 — содержание углеродного наполнителя в резине, в относительных единицах;

$K_2$  — коэффициент неоднородности грунта;

$i_{cp}$  — средняя сила тока, прошедшего через электрод в период эксплуатации;  $Q_{нап}$  — скорость анодного растворения углеродного материала, графита = 1 кг/А·год.

Взаимодействие выделившегося кислорода с углеродом наполнителя и углеродом каучука приводит к химическому и структурному изменению материала оболочки анода, в первую очередь поверхностного слоя, что приводит к значительному количеству открытых микро- и макропор в поверхностном слое оболочки (за счет выделившихся газообразных продуктов). В эти поры проникает почвенный электролит, и реакции дальнейшего электрохимического разложения материала оболочки приобретают механизм диффузионно-кинетических процессов. Для изучения структуры и состава поверхности отработавшего слоя были использованы методы стерео люминесцентной микроскопии и рентгено-структурного анализа на установке «ДРОН». На рис.2 представлены микрофотографии поперечных срезов образцов ПГА.

Визуально-инструментальный анализ срезов подтверждает образование микропористого твердого слоя. С целью увеличения контрастности перед осмотром материалы были обработаны красящими составами, один из которых поглощающий, а другой — люминесцентный. Воздействие каждого из реагентов выявило в образцах «переходной» слой, расположенный между углеродной «коркой», поверхностный слой и неповрежденный материал. Замечено, что интенсивность окраски увеличивается по мере увеличения окисления материала. Толщина такого переходного слоя составляет 200–250 микрометров. (\*)

Методом рентгено-структурного анализа установлено, что поверхностный слой электрода состоит из окисленного кристаллического углерода с деформи-

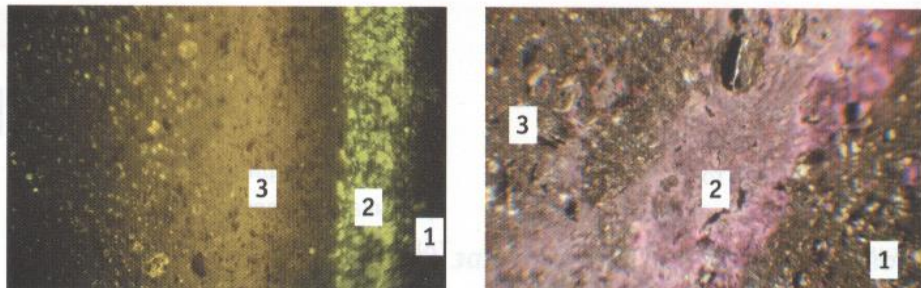


Рис. 2. Фотографии поперечных разрезов работавших образцов ПГА  
1 — область окисленного (разрушенного) материала оболочки ПГА – поверхностный слой  
2 — переходный слой; 3 — рабочий материал оболочки ПГА

рованными базисными плоскостями (отсюда возникает его высокое электросопротивление). Изменение структуры и состава оболочки анода приводит к изменению основных электрофизических параметров ПГА, необходимых при расчете анодного заземления. Так, постоянная распространения тока в ПГА уменьшается с ростом электросопротивления поверхностного слоя резиновой оболочки.

Если продольное электросопротивление анода определяется в первом приближении сопротивлением медной жилы и мало зависит от времени эксплуатации, то поперечное электросопротивление ПГА по мере эксплуатации все больше определяется удельным объемным электросопротивлением поверхностного слоя резиновой оболочки (Рис. 1) и его толщиной ( $h$ ), которые увеличиваются от времени в зависимости от интенсивности окисления резиновой оболочки и расхода электропроводного наполнителя.

Увеличение поперечного электросопротивления оболочки (ПГА) приводит к уменьшению коэффициента распространения электрического тока в аноде, изменению входного сопротивления анода, изменению длины зоны защиты и т. д.

Например: для анодов ПАРТ 25 50 коэффициент распространения электрического тока в ПГА на начальный период работы составил  $3,2 \cdot 10^{-3} \text{ м}^{-1}$ , а после эксплуатации в течение 1 го-

да стал  $2,7 \cdot 10^{-4} \text{ м}^{-1}$ , т. е. уменьшился на порядок.

Поэтому при проектировании анодного заземления с ПГА необходимо рассчитывать основные электрические параметры заземления не только на начальный период работы, но и прогнозировать их изменения на конечный срок службы анодов на основании изменения электрических характеристик ПГА в соответствии с законами распространения электрического тока в многослойных электропроводных полимерных материалах.

Поскольку согласно закону Фарадея количество вещества, окисленного на аноде, пропорционально количеству прошедшего электрического тока, то принято считать основной эксплуатационной характеристикой ПГА удельную токовую нагрузку ( $\text{A}\cdot\text{м}$ ), хотя очевидно, что более верным было бы учитывать удельную плотность тока ( $\text{A}/\text{м}^2$ ), стекающего с единицы поверхности ПГА. Для большинства полимерных анодов удельная токовая нагрузка не должна превышать 0,02 А. В работе [9] установлено, что повышение токовой нагрузки для резиновых анодов с 0,02 до 0,05 А приводит к изменению электрохимических процессов, происходящих на поверхности анода. При удельной токовой нагрузке от 0,05 А и выше начинается разложение водорастворимых солей, например  $\text{NaCl}$ , находящихся в почвенном электролите. Повышение удельной токовой нагрузки и соответственно удельной плотности тока приводит к резкой интенсификации газо-

\* — данные получены д.т.н. Шуваловым М.Ю.

выделения на поверхности оболочки анода и быстрому ее разрушению, в том числе за счет агрессивного хлора. Однако скорость процесса разрушения резиновой оболочки ПГА можно уменьшить и стабилизировать за счет увеличения активной площади анода.

Следует только увеличить диаметр ПГА и тогда при одной и той же удельной токовой нагрузке плотность анодного тока уменьшится и соответственно уменьшится интенсивность газообразования. Отчасти эту роль выполняет коксовая засыпка, увеличивая псеводдиаметр электрода. Последнее приводит к значительному увеличению срока службы анода.

Повысить срок службы анодов путем уменьшения плотности анодного тока без увеличения анодной массы можно путем изменения конструкции анода. Например: Если ПГА представляет собой резиновый рукав большого диаметра. В этом случае увеличивается площадь поверхности токосъема, а стекание тока происходит с внешней поверхности полимерной оболочки анода. Внутренняя же полость рукава служит для отвода образующихся газообразных продуктов окисления.

Такую конструкцию ПГА наиболее эффективно использовать в качестве глубинного анодного заземлителя. В этом случае возникает возможность посекционного регулирования токовой нагрузки на анод, исходя из электросопротивления грунтов геологического разреза, что позволяет значительно увеличить срок службы анодного заземления.

#### **Из проделанной работы можно сделать следующие выводы:**

1. В процессе работы протяженного гибкого анода происходит разложение почвенного электролита (в частности, воды) на поверхности резиновой оболочки анода с выделением кислорода. Кислород взаимодействует с углеродом наполнителя и углеродом каучука одно-

временно с разной скоростью и по разным механизмам. Процесс окисления проходит в смешанной диффузионно-кинетической области, и скорость его зависит от трансфера молекул кислорода к активным центрам каучуковой матрицы и углеродного наполнителя.

Поскольку углеродный наполнитель является основным расходным материалом оболочки ПГА, то срок службы резиновых анодов определяется массой углеродного наполнителя в оболочке и скоростью анодного растворения именно наполнителя. С большой степенью вероятности скорость анодного растворения углерода наполнителя можно принять равной 1 кг/А•год.

2. В процессе работы ПГА на поверхности резиновой оболочки образуется второй, более высокомольный слой, чем первый. Высокомольный слой состоит из углерода каучука с деформированными базисными плоскостями. Образование этого слоя приводит к увеличению поперечного электросопротивления оболочки, снижению коэффициента распространения анодного тока и изменению основных параметров расчета анодного заземления с ПГА.

Исходя из вышеизложенного, расчет основных характеристик ПГА, таких как постоянная распространению тока, входное сопротивление, переходное сопротивление и т. д., нужно проводить на основании изменения сопротивления поверхностного слоя оболочки во времени.

3. Свойство протяженных гибких анодов к снижению коэффициента распространения может иметь особенное преимущество в грунтах с низким удельным сопротивлением. Кроме этого, в процессе эксплуатации анодов происходит и постепенное выравнивание плотности тока на длине анода и как следствие анодный заземлитель расходуется равномерно по всей длине.

4. Основной характеристикой, обеспечивающей длительную и надежную работу ПГА, следует считать плотность тока, стекающего с оболочки анода, ко-

торая может регулироваться конструкцией анодов.

5. Производство ПГА по кабельной технологии легко позволяет создавать оболочку с любыми заявленными характеристиками, в том числе с изменяемой электропроводностью как в радиальном направлении, так и по длине анода.

#### **ЛИТЕРАТУРА**

1. В.В. Притула. Передовые рубежи отечественной науки в области катодной защиты от подземной коррозии. Практика противокоррозионной защиты. М, 1998г., № 9, ст. 10–15.
2. А.А. Делекторский. Использование электропроводных резин при защите нефте- и газопроводов от коррозии. Экология и промышленность России. М, 2000 г, № 10, с. 33–36.
3. В.Е.Копытин. Особенности расчета параметров катодной защиты с эластомерными электродами анодного заземления протяженного типа. Территория Нефтегаз. М., № 2, 2005 г., с. 19–23
4. В.Е. Гуль, Л.З. Шен菲尔ль. Электропроводящие полимерные композиции. М., Химия, 1984, 240 с.
5. Нормы проектирования электрохимической защиты магистральных трубопроводов и площадок МН., АК Транснефть 1999, 80 с.
6. М.К. Стругацкий, Б.П. Надеенский. Общая химия. М., Высшая школа, 1965, — 392 с.
7. Б.А. Догадкин, А.А. Донцов, В.А. Шершнев. Химия эластомеров. М, Химия. 1981, 374 с.
8. Защита подземных металлических сооружений от коррозии. Справочник /И.В. Стрижевский, А.Д. Богословский, И.В. Дмитриев и др. М., Стройиздат, 1990, с. 259.
9. К.Л. Шамшетдинов, Н.П. Глазов, М.А. Резвяков и др. Протяженные анодные заземления из электропроводных эластомеров / I-Российская конференция по заземляющим устройствам. Новосибирск, 2002г., с. 237–247.



**МИНАДАГС**

**ООО «МИНАДАГС»**

119435, г. Москва,  
ул. Малая Пироговская, д. 1  
(МИТХТ), 2 эт.

Тел./факс: +7 (495) 246-27-41